

06.3

© 1990

ЛЮМИНЕСЦЕНЦИЯ ПРИ 4.3–4.6 эВ
 В АМОРФНЫХ СЛОЯХ НИТРИДА И ОКСИНИТРИДА
 КРЕМНИЯ ПЕРЕМЕННОГО СОСТАВА

Ю.Г. Шавалгин, П.А. Пундура

В настоящее время, несмотря на широкое применение аморфных слоев нитрида кремния $\alpha\text{-Si}_3\text{N}_4$ в изделиях твердотельной электроники, данные о природе локальных состояний в запрещенной зоне $\alpha\text{-Si}_3\text{N}_4$ носят по большей части предположительный характер [1–3].

Ранее авторами [2] была высказана гипотеза о возможной ответственности дефекта типа $\equiv Si-Si \equiv$ за эффект памяти в $\alpha\text{-Si}_3\text{N}_4$. Нами в ряде работ [3, 4] обсуждалась природа собственных дефектов в $\alpha\text{-Si}_3\text{N}_4$ и $\alpha\text{-Si}_x\text{N}_y\text{O}_z$.

Настоящая работа посвящена изучению катодолюминесценции (КЛ) в слоях $\alpha\text{-Si}_3\text{N}_4$ и $\alpha\text{-Si}_x\text{N}_y\text{O}_z$ с целью установления природы собственных дефектов, обусловливающих наличие излучательных переходов в этих слоях.

Нами проведены спектрально-кинетические исследования КЛ $\alpha\text{-Si}_3\text{N}_4$ и $\alpha\text{-Si}_x\text{N}_y\text{O}_z$ переменного состава. Слои $\alpha\text{-Si}_3\text{N}_4$ на кремнии синтезировались следующими способами: а – аммонолизом тетрахлорида кремния в РПД, $SiCl_4/NH_3 = 1/10$, $T_{\text{синт}} = 850^\circ\text{C}$ (образец 1); б – аммонолизом моносилана кремния в РПД, $SiH_4/NH_3 = 1/20$, $T_{\text{синт}} = 800^\circ\text{C}$ (образец 2); в – аммонолизом моносилана кремния в РАД, $SiH_4/NH_3 = 1/400$, $T_{\text{синт}} = 850^\circ\text{C}$ (образец 3). Слои $\alpha\text{-Si}_x\text{N}_y\text{O}_z$ синтезировались в РПД в реакции $SiH_4 + NH_3 + O_2$ аналогично [5]. Состав исследованных слоев $\alpha\text{-Si}_x\text{N}_y\text{O}_z$ изменялся в диапазоне от $SiN_{1.19}O_{2.0}$ до $SiN_{0.78}O_{0.82}$ (состав определен, используя измеренный нами эпилосиметрически коэффициент преломления n и данные по исследованию рентгеновских фотоэлектронных спектров $\alpha\text{-Si}_x\text{N}_y\text{O}_z$ в [6]).

Спектры КЛ исследовались на установке, описанной в [4]. Кинетику затухания КЛ измеряли, используя методику, предложенную в [7]. ИК спектры $\alpha\text{-Si}_3\text{N}_4$ измерялись на спектрофотометре типа *SPECORD M 80*.

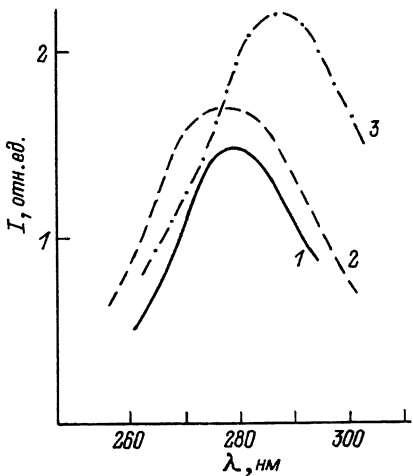
Проведенные нами исследования показали, что для спектров КЛ слоев $\alpha\text{-Si}_3\text{N}_4$, синтезированных различными способами, характерна полоса с максимумами в районе 270–290 нм (4.6–4.3 эВ). В дальнейшем для краткости ее будем обозначать А-полосой. Отметим также, что в спектрах электролюминесценции авторы [8], исследовавшие слои $\alpha\text{-Si}_3\text{N}_4$, полученные аммонолизом силана кремния в РПД, наблюдали полосу ЭЛ с максимумом при 4.5 эВ.

Рис. 1. Спектры КЛ А-полосы в $\alpha\text{-Si}_3\text{N}_4$. 1 - (образец 1), 2 - (образец 2), 3 - (образец 3). Энергия возбуждающих электронов 3 кэВ, ток на образец 20 мкА, Т = 300 К.

Наличие А-полосы в спектрах КЛ $\alpha\text{-Si}_3\text{N}_4$ (рис. 1) мы связываем с внутрицентровыми переходами в дефекте типа $\equiv\text{Si}-\text{Si}\equiv$ между σ^* -антисвязывающей и σ -связывающей орбиталью этого дефекта.

Остановимся кратко на результатах, полученных нами, а также на данных других авторов, подтверждающих это предположение. Теоретические расчеты локальных состояний для собственных дефектов $\alpha\text{-Si}_3\text{N}_4$ показывают [1, 9], что состояния, обусловленные σ -связывающими орбиталами дефекта $\equiv\text{Si}-\text{Si}\equiv$, лежат в запрещенной зоне $\alpha\text{-Si}_3\text{N}_4$ и отстоят от верха валентной зоны на 0.1–0.5 эВ. Авторами [1] показывается, что σ^* -орбитали дефекта типа $\equiv\text{Si}-\text{Si}\equiv$ дают состояния, лежащие в зоне проводимости $\alpha\text{-Si}_3\text{N}_4$ вблизи дна зоны E_C . Недавние расчеты плотности электронных состояний в $\alpha\text{-Si}_3\text{N}_4$ [10], показали, что связь $\equiv\text{Si}-\text{Si}\equiv$ дает уровни в запрещенной зоне $\alpha\text{-Si}_3\text{N}_4$ вблизи верха валентной зоны и дна зоны проводимости, отвечающих соответственно связывающим и антисвязывающим состояниям этого дефекта. Ширина запрещенной зоны в $\alpha\text{-Si}_3\text{N}_4$ составляет $E_g \approx 5.1$ эВ [11]. Таким образом, основываясь на выше упомянутых расчетах дефекта $\equiv\text{Si}-\text{Si}\equiv$, характерный энергетический зазор между локализованными состояниями, обусловленными σ^* и σ -орбиталами дефекта $\equiv\text{Si}-\text{Si}\equiv$, может составлять 4.6–5 эВ, что сопоставимо с энергией квантов света излучаемых при переходах, наблюдавшихся в спектрах КЛ $\alpha\text{-Si}_3\text{N}_4$ (рис. 1).

Как видно из рис. 1, А - полоса в РАД-нитриде несколько сдвинута в более длинноволновую область. Этот сдвиг, возможно, связан с ростом содержания водорода в слоях РАД-нитрида (образец 3) по сравнению с РПД-нитридом (образец 1). Согласно [12], концентрация $\text{Si}-\text{H}$ связей в РАД-нитриде составляет $1.3 \cdot 10^{20} \text{ см}^{-3}$, что на порядок выше концентрации этой же связи в РПД-нитриде. Концентрация $\text{N}-\text{H}$ связей в РАД-нитриде в два раза больше, чем в РПД нитриде и составляет $5.8 \cdot 10^{21} \text{ см}^{-3}$. О возможной связи водорода с атомом кремния, принадлежащим дефекту $\equiv\text{Si}-\text{Si}\equiv$, упоминалось в работе [13] по данным ИК спектроскопии слоев $\alpha\text{-Si}_3\text{N}_x:\text{H}$. Присутствие водорода в ближайшем окружении дефекта $\equiv\text{Si}-\text{Si}\equiv$ может приводить к изменению длины связи $\equiv\text{Si}-\text{Si}\equiv$, что в свою очередь отражается на энергетических характеристиках этого дефекта.



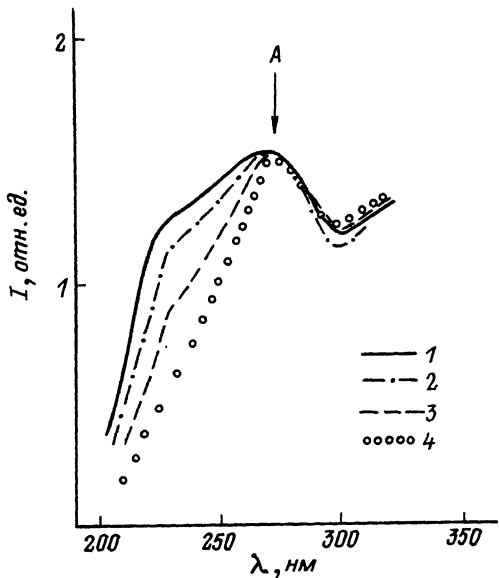


Рис. 2. Спектры КЛ $\alpha\text{-Si}_x\text{N}_{y,1} - \text{SiN}_{0.78}\text{O}_{0.82}$, 2 - $\text{SiN}_{1.06}\text{O}_{0.41}$, 3 - $\text{SiN}_{1.19}\text{O}_{0.20}$, 4 - $\alpha\text{-Si}_3\text{N}_4$. Энергия возбуждающих электронов 2.5 кэВ, ток на образец 30 мкА, $T = 300$ К.

Интенсивность А-полосы в РАД-нитриде выше, чем в РПД-нитриде (рис. 1), что обусловлено более высокой концентрацией дефектов $\equiv\text{Si}-\text{Si}\equiv$ в РАД-нитриде. Это подтверждают и данные работы [1], в которой авторы указывают на то, что концентрация дефектов $\equiv\text{Si}-\text{Si}\equiv$ больше в слоях $\alpha\text{-Si}_3\text{N}_4$ с более высоким содержанием водорода, и их число может достигать $10^{21}\text{-}10^{22}\text{ см}^{-3}$.

Высокотемпературная термообработка (т/о) $\alpha\text{-Si}_3\text{N}_4$ (образец 1) в атмосфере Ar при $T = 900$ °С в течение 1 ч приводит к усилению интенсивности А-полосы примерно в два раза, это свидетельствует о росте концентрации дефектов $\equiv\text{Si}-\text{Si}\equiv$ под действием т/о. Этот результат согласуется с данными работы [14], в которой авторы, исследуя кинетику выделяемых газов из слоев $\alpha\text{-Si}_3\text{N}_4$ при высокотемпературных обработках, показывают, что под действием т/о происходит удаление водорода и азота из слоев и наблюдается увеличение концентрации связей $\equiv\text{Si}-\text{Si}\equiv$. Проведенные нами исследования ИК спектров $\alpha\text{-Si}_3\text{N}_4$ показали, что упомянутая выше т/о образца 1 приводит к уменьшению поглощения в полосе при 850 cm^{-1} , связанной с валентными колебаниями $\text{Si}-\text{N}$ связи. Таким образом, естественно предположить, что рост концентрации дефектов типа $\equiv\text{Si}-\text{Si}\equiv$ под действием т/о обусловлен связыванием недокоординированных атомов $\equiv\text{Si}^{\cdot}$, образующихся при разрыве $\text{Si}-\text{N}$ связей.

Рис. 3. Кинетика затухания
А-полосы в $\alpha\text{-Si}_x\text{O}_y$ при $T = 300$ К.

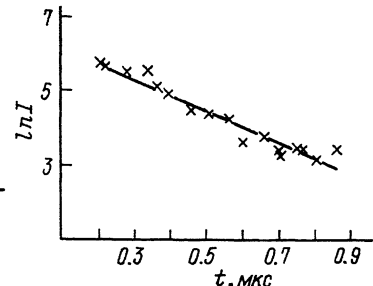
Исследования КЛ в слоях $\alpha\text{-Si}_x\text{O}_y$ показали, что для $\alpha\text{-Si}_x\text{O}_y$ также характерна А-полоса с максимумом в районе

270-280 нм (4.6-4.4 эВ)

(рис. 2). Отметим также, что

нами ранее наблюдалась полоса КЛ в $\alpha\text{-SiO}_2$ с максимумом в районе 4.6 эВ [15]. Положение максимума А-полосы (рис. 2), а также ее интенсивность, практически не зависят от состава исследуемых слоев. Как известно [6], по мере роста содержания кислорода, E_g в $\alpha\text{-Si}_x\text{O}_y$ монотонно растет. В нашем случае изменение состава $\alpha\text{-Si}_x\text{O}_y$ соответствовало (согласно измеренному коэффициенту предомлечения n и данных [6] по оптическому поглощению в $\alpha\text{-Si}_x\text{O}_y$ переменного состава) росту E_g в $\alpha\text{-Si}_x\text{O}_y$ по крайней мере на 1 эВ. Это указывает на то, что излучательные переходы, обусловливающие наличие А-полосы, не зависят от краев разрешенных зон, что подтверждает внутрицентровой характер этих переходов. На внутрицентровой характер переходов указывает и проведенные нами кинетические исследования А-полосы, которые показали, что кинетика затухания А-полосы в районе 4.6-4.3 эВ носит экспоненциальный характер с $\tau \approx 2.5 \cdot 10^{-7}$ с (рис. 3).

Таким образом, полученные нами результаты и анализ литературных данных доказывают, что излучательные переходы, обусловливающие полосу КЛ при 4.6-4.3 эВ в слоях $\alpha\text{-Si}_3\text{N}_4$, $\alpha\text{-Si}_x\text{O}_y$, $\alpha\text{-SiO}_2$, носят внутрицентровой характер и, возможно, связаны с дефектом $\equiv\text{Si}-\text{Si}\equiv$, который является одним из характерных дефектов структуры в этих материалах.



Список литературы

- [1] Robertson J., Rowell M. // J. Appl. Phys. 1984. V. 44. N 4. P. 415-417.
- [2] Гриценко В.А., Пундуру П.А. // ФТТ. 1983. Т. 25. В. 5. С. 1560-1562.
- [3] Pundur P.A., Shavagin J.G., Gritsenko V.A. // Phys. Stat. Sol. (a). 1986. V. 94. P. k107-k112.
- [4] Пундуру П.А., Шавагин Ю.Г. // Изв. АН ЛатвССР. Сер. физ. и техн. наук. 1985. № 2. С.58-61.
- [5] Гиновкер А.С., Гриценко В.А., Диковская И.Д. и др. // ЭТ. Сер. Материалы. 1978. Вып. 7. С. 53-58.
- [6] Бритов И.А., Гриценко В.А., Костиков Ю.П. и др. Состав, строение, электронная структура и перенос заря-

да в аморфном оксинитриде кремния. Препринт ИФП СО АН
СССР. Новосибирск, 1985. 55 с.

- [7] J a n s o n J.L., R a c h k o J.A. // Phys. Stat. Sol. (a). 1979. V. 53. P. 121-126.
- [8] Б а р а б а н А.П., К л и м о в И.В., Ко н о р о в П.П.// ФТТ. 1987. Т. 2а. Вып. 11. С. 3459-3461.
- [9] M a r t i n-M o r e n o l, M a r t i n e z E., V e r g e s J.A., Y n d u r a i n F. // Phys. Rev. B. V. 35. N 18. P. 9683-9692.
- [10] Д и д и н ч у к В.А., П е т у х о в А.Г., Р а д ч и к А.В. Тез. докл. IX Всесоюз. симп. „Электронные процессы на поверхности и в тонких слоях полупроводников”. Ч. 1. Новосибирск, 1988. С. 143.
- [11] B a u e r J. // Phys. Stat. Sol. (a). 1979. V. 39. P. 411-420.
- [12] V a s i l e v V.V., M i k h a i l o v s k i i L.P., S v i t a s h e v K.K. // Phys. Stat. Sol. (a). 1986. V. 95. N 1. P. k37-k42.
- [13] L u c o v s k y G. // Sol. St. Comm. 1979. V. 29. P. 571-576.
- [14] Х р а м о в а Л.В., Ч у с о в а Т.П., Г р и п е н-к о В.А. и др. // Изв. АН СССР. Сер. Неорг. мат. 1987. Т.23. № 1. С. 73-76.
- [15] П у н д у р П.А., В о р о н к о в а Г.М., Ш а в а л-г и н Ю.Г. // МЭ. 1986. Т. 15. В. 6. С. 557-558.

Поступило в Редакцию
25 июля 1989 г.